

УДК 620.193.25;669.24.621.777

ЭЛЕКТРОХИМИЧЕСКИЙ МЕТОД НЕРАЗРУШАЮЩЕГО КОНТРОЛЯ СКЛОННОСТИ К МЕЖКРИСТАЛЛИТНОЙ КОРРОЗИИ МЕТАЛЛА ОБОРУДОВАНИЯ АЭС

© И. А. Сафонов, И. Л. Харина, А. Е. Корнеев¹

Статья поступила 6 ноября 2014 г.

На основе стандартного метода (регламентированного ГОСТ) разработана методика испытаний на стойкость к межкристаллитной коррозии (МКК) нержавеющей стали — основного материала действующего оборудования АЭС. Методика включает способы подготовки исследуемой поверхности, среды и параметры анодного травления, условия металлографической оценки стойкости к МКК. Достоверность результатов подтверждена данными сравнительных испытаний образцов стали 08X18H10T в аустенизированном и сенсибилизированном состояниях по разработанному и стандартному (АМУ, ГОСТ 6032–2003) методам. Предложенный подход к оценке стойкости к МКК непосредственно при просмотре поверхности имеет существенные преимущества перед методом «реплик». Он использован при исследовании коррозионного состояния поверхности внутрикорпусных элементов насосов ГЦН-195М на блоках Калининской и Балаковской АЭС после 20-летнего периода их эксплуатации.

Ключевые слова: аустенитная нержавеющая сталь; межкристаллитная коррозия; металлографический метод.

Одна из важнейших характеристик коррозионно-стойких (нержавеющих) сталей, необходимая, в частности, для решения вопроса продления ресурса отдельных элементов оборудования блоков АЭС, — отсутствие склонности поверхностных слоев металла к межкристаллитной коррозии (МКК) при длительной (более 20 лет) эксплуатации в коррозионных средах (теплоносителях).

Условия эксплуатации оборудования (суммарная длительность, составы и параметры сред, контактирующих с поверхностью конструкционных материалов оборудования и другие факторы), например, из аустенитной нержавеющей стали (АНС) марки 08X18H10T — основного конструкционного материала элементов оборудования АЭС с водо-водяным теплоносителем (ВВТ) могут вызывать структурные изменения металла, приводящие к склонности к МКК.

Механизм появления склонности АНС к МКК, как правило, обусловлен обеднением приграничных участков зерен аустенита хромом вследствие выпадения карбидов хрома и разной скорости диффузии хрома и углерода к границам зерен [1].

В соответствии с положениями нормативных документов [2] испытания на стойкость к МКК относятся к разрушающим методам контроля и подразумевают необходимость вырезки образцов, что невозможно в случае действующего оборудования АЭС.

Применяемый в настоящее время при металлографическом контроле структурного состояния метод

«реплик» имеет ряд существенных недостатков и в большинстве случаев оказывается малоэффективным. В частности, для получения им четких отпечатков границ зерен металла необходимо интенсивное растворение исследуемой поверхности, что в совокупности с последующей повторной шлифовкой, как правило, приводит к изменению состояния поверхности на площади травления и возможному появлению неблагоприятных факторов, обусловленных воздействием на металл коррозионной среды.

Цель работы — исследование возможности применения локального неразрушающего электрохимического метода оценки стойкости к МКК эксплуатируемого оборудования АЭС.

Предлагаемый подход по оценке элементов непосредственно действующего оборудования основан на принципе испытания, регламентированного стандартом (методом «Б») [3], с соответствующей корректировкой параметров процесса.

В качестве материала опытных образцов использовали сталь 08X18H10T в аустенизированном состоянии после термообработки по режиму: 1050 °C с охлаждением в воду (образцы, не склонные к МКК при испытании методом АМУ [3]) и с дополнительным провоцирующим нагревом по режиму 650 °C в течение 1 ч (сенсибилизованные образцы, склонные к МКК при испытании методом АМУ).

Образцы готовили с помощью установки электрохимического травления (рис. 1), представляющей собой электрохимическую ячейку в форме цилиндра, которая монтировалась на контролируемую поверхность с помощью резиновой манжеты. Сердечник ус-

¹ Центральный научно-исследовательский институт технологий машиностроения (ЦНИИТМАШ), Москва, Россия;
e-mail: safonov@cniitmash.ru

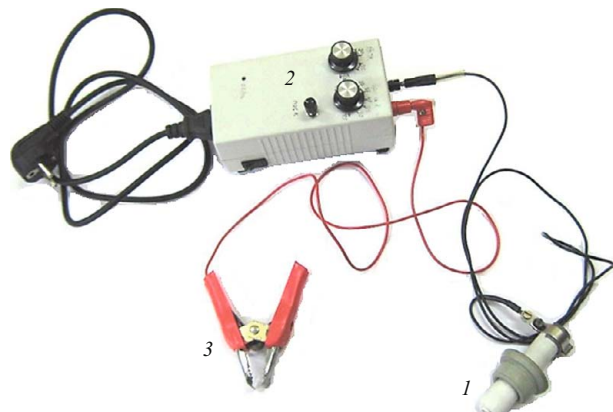


Рис. 1. Установка электрохимического травления: 1 — электрохимическая ячейка (свинцовый катод); 2 — источник питания/автоматический блок управления; 3 — крепление к исследуемому образцу/поверхности изделия (анод)

тановки — катод из листового свинца, подсоединеный к блоку питания — источнику постоянного тока, который поддерживал силу тока при травлении и задавал время автоматического отключения цепи. В схему также входили элементы для автоматической корректировки силы тока травления при образовании пузырьков водорода на поверхности металла, исключающие локальный перетрав.

Для получения качественной поверхности (до шероховатости $R_a \leq 0,8$ мкм [4]) выбрали оптимальный режим шлифовки и полировки (с учетом возможных временных затрат при проведении натурных испытаний), которые осуществляли шлифовально-полировальным прибором с гибким валом с головкой диаметром 30 мм. Использовали самоклеящуюся наждачную бумагу STRUERS (зерно № 50–800) и полировочную ткань с алмазной пастой PRESI (размер частиц 1 и 6 мкм) и смазывающей жидкостью TRANSPOL.

Травильный раствор готовили на дистиллированной воде [7]. Исходные компоненты раствора: серная кислота H_2SO_4 плотностью 1,83 г/см³ [5], в качестве ингибитора — уротропин $(CH_2)_6N_4$ [6]. Температура раствора при проведении эксперимента составляла 20 ± 1 °C [3]. Время травления — 45–60 с.

Состояние поверхности образцов оценивали после загиба их на 90°. Результаты представлены на рис. 2.

Металлографическое исследование структуры исходных (нессенсилизированных) образцов на границах и в теле зерен аустенита выделений и повышенного растрескивания не выявило (рис. 3, а). У сенсилизированных образцов зафиксировали интенсивный растрескивание по границам зерен аустенита, а также мелкие выделения карбидов хрома (рис. 3, б), определенных по внешнему виду (конфигурации и цвету).

Практическую отработку методики осуществляли при анализе состояния поверхностей внутренних элементов главных циркуляционных насосов (ГЦН) Калининской и Балаковской АЭС после 20-летнего срока

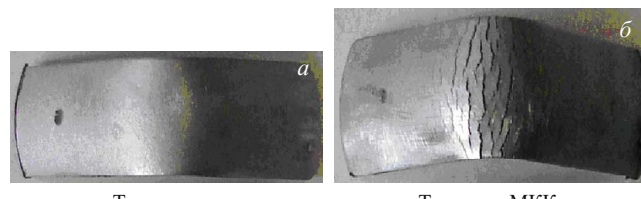


Рис. 2. Поверхность образцов после загиба на 90° и после испытания по АМУ [3]: а и б — аустенизированное и сенсибилизированное состояния

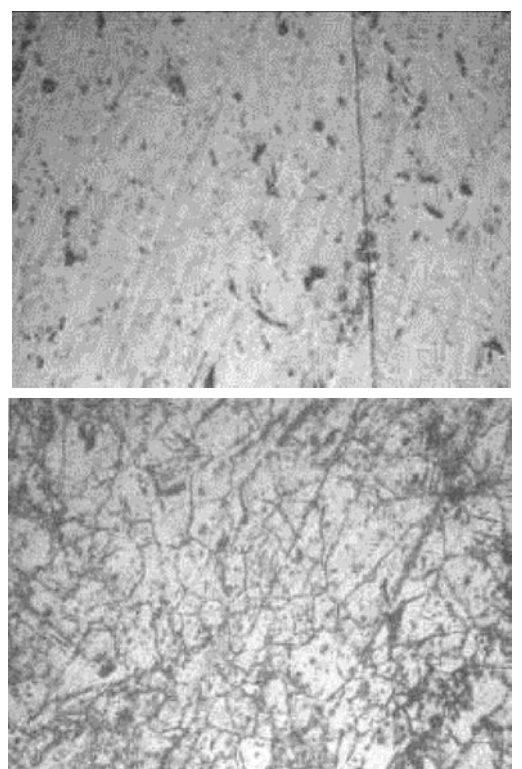


Рис. 3. Металлографическая картина структуры стали образцов после электрохимического травления (увеличение 100): а и б — аустенизированное и сенсибилизированное состояния

эксплуатации на предмет сохранения стойкости к МКК.

Исследовали следующие элементы ГЦН: корпус торцевого уплотнения (сталь 08Х18Н10Т); выемные части (сталь 08Х18Н12ТФ); тепловой барьер (сталь 08Х18Н12ТФ).

Согласно разработанной методике плотность анодного тока травления составляла $1,53 \cdot 10^3$ А/м², время травления — 45 с. Затем проводили полировку поверхности и повторное травление по тому же режиму. Контроль каждой детали вели по двум диаметрально противоположным точкам (рис. 4, точки А и Б).

Металлографический анализ металла зон анодного травления (на примере агрегатов № 8 и № 22 Калининской АЭС) показал (см. рис. 4): металл корпуса торцевого уплотнения имеет структуру крупнозернистого аустенита; по границам зерен протравленных участков исследованных деталей не прослеживается

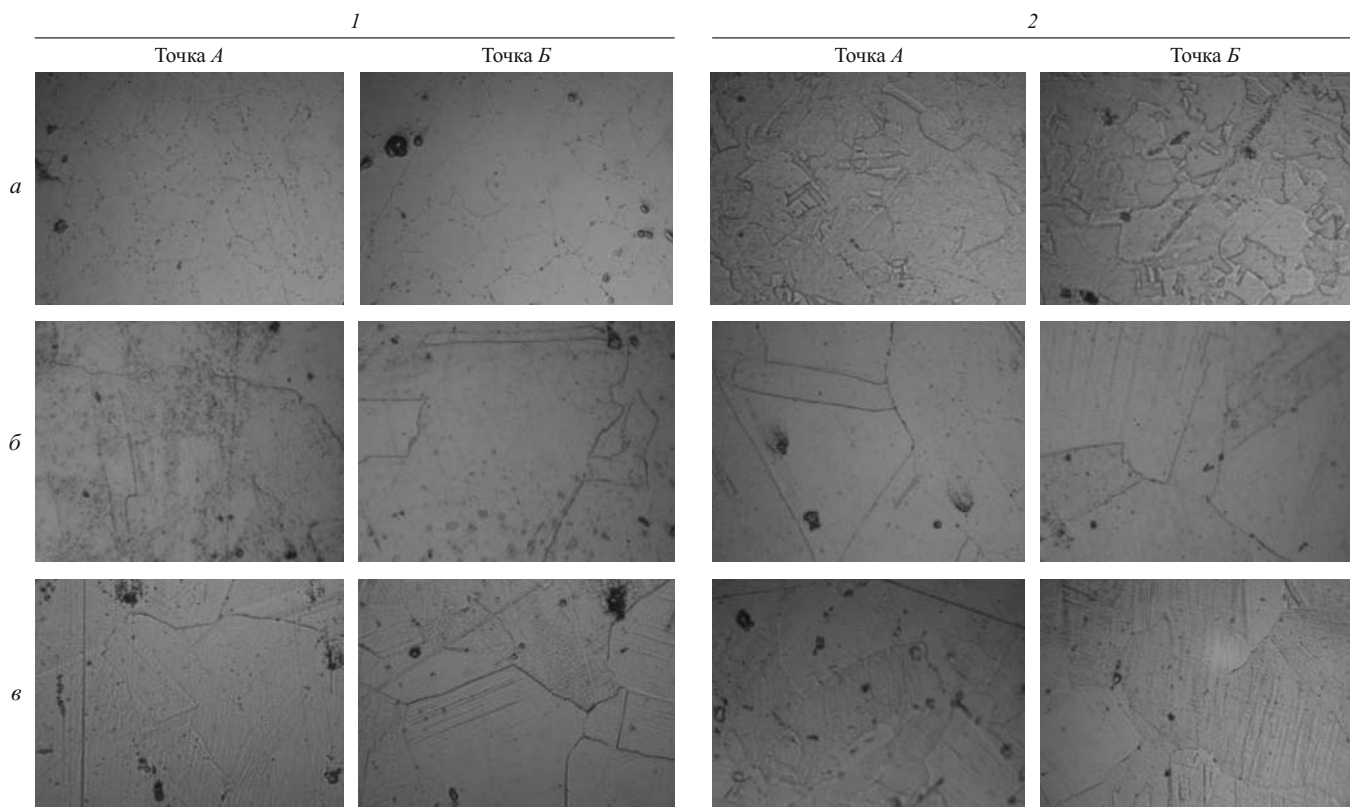


Рис. 4. Структурное состояние металла (увеличение 300) поверхности корпуса торцевого уплотнения (а), выемной части корпуса (б), теплового барьера (в): 1 — агрегат № 8; 2 — агрегат № 22

выпадение карбидов хрома (определяемых по конфигурации и цвету); отсутствуют зоны повышенной тра-вимости (уширение) границ зерен; практических различий в структурном состоянии металла исследованного фрагмента ГЦН не прослеживается.

Полученные данные свидетельствуют, что во всех исследованных элементах ГЦН-195М Калининской и Балаковской АЭС из сталей 08Х18Н10Т и 08Х18Н12ТФ отсутствуют признаки изменения границ зерен в поверхностных слоях металла и, следова-тельно, коррозионные повреждения, вызванные про-цессом МКК.

Таким образом, по достоверности результатов определения структурного состояния металла, обу-славливающего стойкость к МКК, разработанная методика существенно превосходит метод «креплик». По принципиальному механизму она соответствует действующей научно-технической документации [2, 3]. Ее преимущества определяются следующими факторами: способ подготовки поверхности образцов для формирования «пятен» травления позволяет полу-чить поверхность, существенно превосходящую по качеству используемую для оценки МКК методом «креплик», за счет того, что на финишном этапе под-готовки шлифов применяется электрохимическая по-лировка с помощью специально сконструированной переносной ячейки; отсутствие громоздких приборов, лишнего функционала и удобная автоматика суще-

ственno сокращают время пребывания специалистов в зоне с повышенным радиационным фоном.

ЛИТЕРАТУРА

- Погодин В. П., Богоявленский В. Л., Сентюрев В. П. Межкристаллитная коррозия и коррозионное растрескивание нержавеющих сталей в водных средах. — М.: Атомиздат, 1970. — 424 с.
- Оборудование и трубопроводы атомных энергетических установок. Сварка и наплавка. Основные положения (ПН АЭ Г-7-009-89). Сварные соединения и наплавки. Правила контроля (ПН АЭ Г-7-010-89) / Госатомэнергонадзор СССР. — М.: Энергоатомиздат, 1991. — 320 с.
- ГОСТ 6032-2003. Стали и сплавы коррозионно-стойкие. Методы испытаний на стойкость к межкристаллитной коррозии / Госстандарт России. — М.: Стандартинформ, 2008. — 27 с.
- ГОСТ 2789-73. Шероховатость поверхности. Параметры и характе-ристики / Госстандарт России. — М.: Стандартинформ, 2008. — 7 с.
- ГОСТ 4204-77. Реактивы. Кислота серная. Технические условия / Госстандарт России. — М.: Стандартинформ, 2005. — 14 с.
- ГОСТ 1381-73. Уротропин технический. Технические условия / Гос-стандарт России. — М.: Стандартинформ, 2005. — 8 с.
- ГОСТ 6709-72. Вода дистиллированная. Технические условия / Гос-стандарт России. — М.: Стандартинформ, 2007. — 11 с.

REFERENCES

- Pogodin V. P., Bogoyavlenskii V. L., Sentyurev V. P. Mezhkristallitnaya korroziya i korrozionnoe rastreskiwanie nerzhaveyushchikh stalei v vodnykh sredakh [Grain-boundary corrosion and corrosion cracking of stain-less steels in water environments]. — Moscow: Atomizdat, 1970. — 424 p. [in Russian].
- Oborudovanie i truboprovody atomnykh énergeticheskikh ustanovok. Svarka i naplavka. Osnovnye polozheniya (PN AÉ G-7-009-89). Svarnye soedineniya i naplavki. Pravila kontrolya (PN AÉ G-7-010-89) [Equipment and pipelines of nuclear power stations. Welding and cladding. Basic provisions. Welded connections and è cladding. Control Rules] /

- Gosatoménergonadzor SSSR. — Moscow: Énergoatomizdat, 1991. — 320 p. [in Russian].
3. RF State Standard GOST 6032–2003. Stali i splavy korrozionno-stoikie. Metody ispytanii na stoikost' k mezhkristallitnoi korrozii [Corrosion-resistant steels and alloys. Test methods of intercrystalline corrosion resistance] / Gosstandart Rossii. — Moscow: Standartinform, 2008. — 27 p. [in Russian].
4. RF State Standard GOST 2789–73. Sherokhovatost' poverkhnosti. Parametry i kharakteristiki [Surface roughness. Parameters and characteristics] / Gosstandart Rossii. — Moscow: Standartinform, 2008. — 7 p. [in Russian].
5. RF State Standard GOST 4204–77. Reaktivy. Kislota sernaya. Tekhnicheskie usloviya [Reagents. Sulphuric acid. Specifications] / Gosstandart Rossii. — Moscow: Standartinform, 2005. — 14 p. [in Russian].
6. RF State Standard GOST 1381–73. Urotropin tekhnicheskii. Tekhnicheskie usloviya [Hexamethylcnetciramine for industrial use. Specifications] / Gosstandart Rossii. — Moscow: Standartinform, 2005. — 8 p. [in Russian].
7. RF State Standard GOST 6709–72. Voda distillirovannaya. Tekhnicheskie usloviya [Distilled water. Specifications] / Gosstandart Rossii. — Moscow: Standartinform, 2007. — 11 p. [in Russian].